

# Метод конечных элементов в CFD.

## Часть 2

Наумкин Виктор Сергеевич

Лекция №11, 2021

Green-Gauss Node-Based Gradient Schemes

Неортогональность сетки

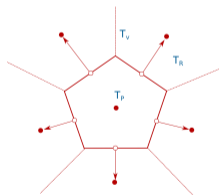
Неортогональность сетки: The Over-Relaxed Approach

Разница между Upwind, Linear Upwind и Central Differencing

## Green-Gauss Node-Based Gradient Schemes

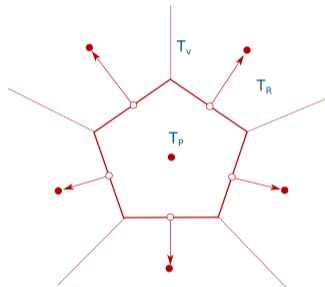
- ▶ В методе Гаусса-Грина градиент в ячейке рассчитывается из значений в центре поверхностей:

$$(\nabla T)_P = \frac{1}{V_P} \sum_{Faces} (T_f \hat{n}_f A_f) \quad (1)$$



- ▶ Известно только значение в центре ячейки  $T_P$ . Как рассчитать значение в центре поверхности  $T_f$ ?

## Green-Gauss Node Based

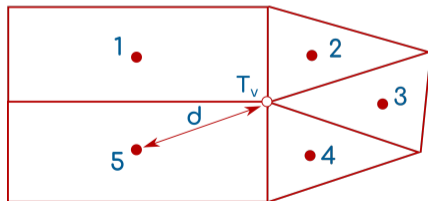


1. Расчёт значений в узлах из значений в центре.
2. Расчёт значения на поверхности из значений в узлах.
3. Расчёт градиента из значений на поверхности по формуле Гаусса-Грина.

## 1. Значение в узле - осреднение

- Чтобы получить значение в узле можно взять среднее значение от центров:

$$T_V = \frac{1}{N} \sum_{Cells} T_P = \frac{1}{5} (T_1 + T_2 + T_3 + T_4 + T_5) \quad (2)$$



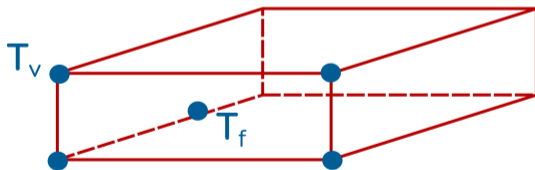
- ▶ Но  $T_2, T_3, T_4$  ближе к узлу, чем другие центры ячеек.
- ▶ Узел не в середине окружающих его центров ячеек.
- ▶ Введём  $|d|$  - расстояние от узла до центра ячейки.
- ▶ Используем  $1 / |d|$ , чтобы вес ближайших к узлу ячеек был больше

$$T_V = \frac{\sum_{Cells} T_P \left( \frac{1}{|d|} \right)}{\sum_{Cells} \left( \frac{1}{|d|} \right)} \quad (3)$$

$$T_V = \frac{\frac{T_1}{d_1} + \frac{T_2}{d_2} + \frac{T_3}{d_3} + \frac{T_4}{d_4} + \frac{T_5}{d_5}}{\frac{1}{d_1} + \frac{1}{d_2} + \frac{1}{d_3} + \frac{1}{d_4} + \frac{1}{d_5}} \quad (4)$$

- ▶ Значение в центре поверхности получается осреднением значений в узловых точках:

$$T_f = \frac{1}{N} \sum_{Nodes} T_V \quad (5)$$

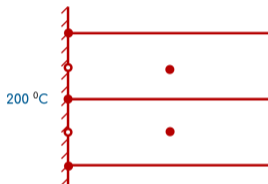


- ▶ Центр поверхности - в центре узлов.
- ▶ Узлы - не в середине центров ячеек.



## Граничные ячейки

- ▶ Температура на границе постоянна вдоль поверхности граничной ячейки:

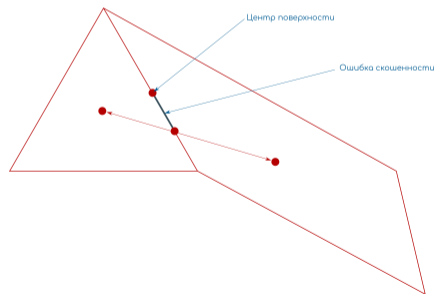


- ▶ ⇒ Значение в узле и в центре поверхности равны граничному  $200^0C$

$$T_f = 200^0C, T_V = 200^0C \quad (6)$$

## Ошибка скошенности

- ▶ Метод Гаусса-Грина, основанный на ячейке имеет ошибку скошенности.
- ▶ Значение на поверхности не рассчитывается в центре поверхности.
- ▶ Метод Гаусса-Грина, основанный на узле, не имеет ошибки скошенности.

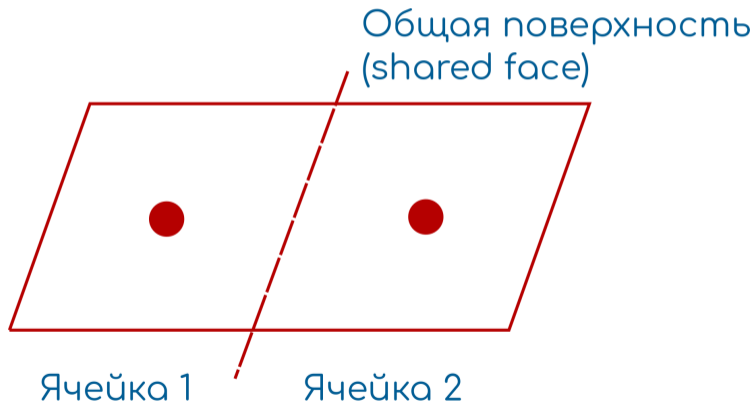


### Summary

- ▶ Метод Гаусса-Грина, основанный на узле, использует осреднение по весу, т.к. некоторые центры ячеек лежат дальше от узлов, чем другие.
- ▶ Данная схема более точная, чем cell based схема, т.к. нет ошибки скошенности.
- ▶ Данная схема более тяжёлая в вычислительном плане, т.к. нужно рассчитывать значения как в узлах, так и на поверхности.

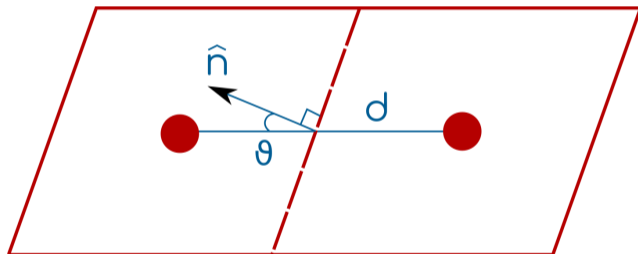
## Неортогональность сетки

- ▶ Рассмотрим две ячейки, соединённых общей поверхностью.
- ▶ Подобное рассмотрение справедливо для гекса-, тетра-, призматических и полиэдральных сеток.



## Векторы и нормали

- ▶ Рассмотрим вектор, соединяющий центры ячейки  $d$ .
- ▶ И нормальный вектор к поверхности  $\hat{n}$ .

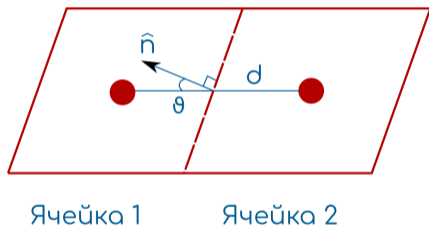


Ячейка 1

Ячейка 2

## Неортогональность

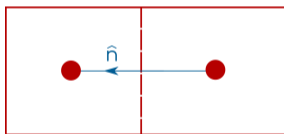
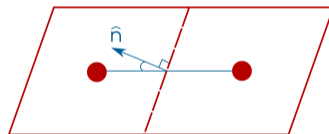
- ▶ Угол между вектором, соединяющим центры ячеек, и единичным нормальным вектором - это угол неортогональности  $\theta$ .



$$\theta = \cos^{-1} \left( \frac{d \cdot \hat{n}}{|d| |\hat{n}|} \right) \text{ Данное определение используется в OpenFOAM.} \quad (7)$$

## Неортогональность

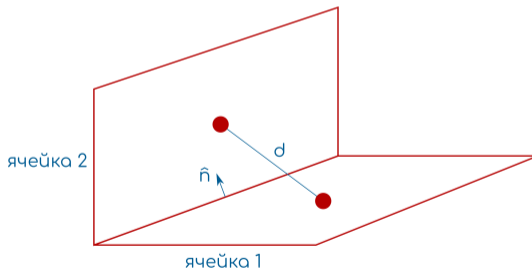
- ▶  $\theta = 0^\circ$  - ортогональная поверхность.
- ▶  $\theta < 70^\circ$  - обычно приемлемо для OpenFOAM.

 $\theta=0$  $\theta=30^\circ$

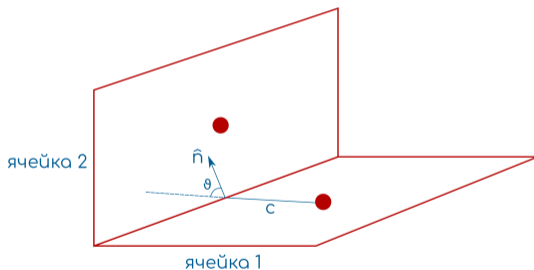


## Выравнивание ячеек (центрирование)

- ▶ Если ячейки не отцентрированы, то  $d$  может быть плохим вектором для использования.
- ▶ В примере  $\theta \sim 0^0$



- ▶ В качестве альтернативы  $d$  может использоваться вектор из центра ячейки к центру поверхности  $c$ .
- ▶ В этом случае  $\theta \sim 30^\circ$



## В Ansys Fluent / CFX

- ▶  $\theta$  вычисляется с использованием  $d$  и  $c$  для всех поверхностей.
- ▶ Затем берётся наибольший угол, как неортогональность ячейки:

$$\theta_{cell} = \max \left[ \cos^{-1} \left( \frac{d \cdot \hat{n}}{|d| |\hat{n}|} \right); \cos^{-1} \left( \frac{c \cdot \hat{n}}{|c| |\hat{n}|} \right) \right] \quad (8)$$

- ▶ Это называется orthogonality-quality ANSYS.
- ▶  $\theta$  нормируется, чтобы давать значения между 0 и 1.
- ▶ 1 для  $0^0$ .

## Почему неортогональность важный фактор в CFD?

Рассмотрим конечно-объёмную дискретизацию диффузионного члена:

$$\frac{\partial U}{\partial t} + \nabla \cdot (UU) = \frac{1}{\rho} \nabla p + \underline{\nabla (v \nabla U)} + g \quad (9)$$

- ▶ Проинтегрируем по всей ячейке:

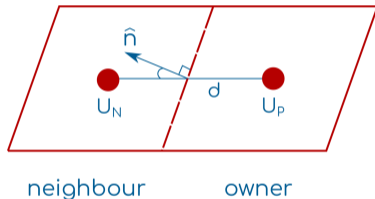
$$\int_V \nabla (v \nabla U) dV \quad (10)$$

- ▶ Используя теорему о дивергенции:

$$\int_V \nabla (v \nabla U) dV = \int_S [v (\nabla U) \cdot \hat{n}] dS = \sum_{f=1}^N [v_f (\nabla U)_f \cdot \hat{n}] S_f \quad (11)$$

- ▶ Сложность в оценке скалярного произведения нормального вектора и градиента скорости на поверхности ячейки:

$$v_f (\nabla U)_f \cdot \hat{n}_f \quad (12)$$

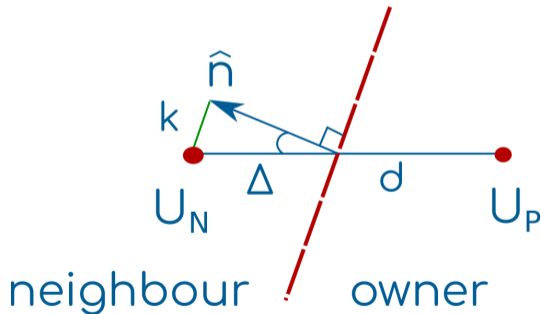


- ▶  $v_f$  можно определить интерполяцией.

- ▶ Если  $\hat{n} \parallel d$  :  $(\nabla U)_f \cdot \hat{n}_f = \frac{U_P - U_N}{|d|} |\Delta|$

- ▶ Обычно  $\hat{n} \nparallel d$  :
- ▶ Можно расщепить вектор  $\hat{n}$  на ортогональную и неортогональную компоненты:

$$\hat{n} = \Delta + k \quad (13)$$



- Подставим в дискретизацию:

$$\sum_{f=1}^N [v_f (\nabla U)_f \cdot \hat{n}] S_f \quad (14)$$

$$\sum_{f=1}^N [v_f (\nabla U)_f \cdot (\Delta + k)] S_f \quad (15)$$

$$\underbrace{\sum_{f=1}^N [v_f (\nabla U)_f \cdot \Delta_f] S_f}_{\text{implicit}} + \underbrace{\sum_{f=1}^N [v_f (\nabla U)_f \cdot k_f] S_f}_{\text{explicit}} \quad (16)$$

- ▶ Можно оценить явно ортогональный член:

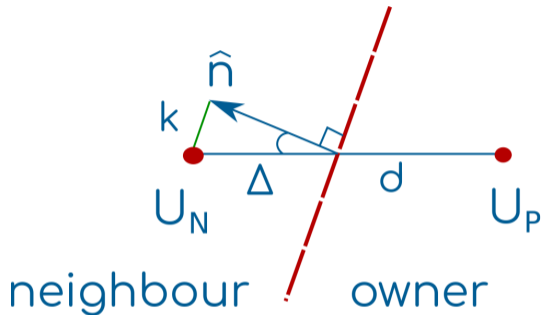
$$(\nabla U)_f \cdot \Delta f = \frac{U_P - U_n}{|d|} |\Delta f| \quad (17)$$

- ▶ Неортогональный член можно вычислить неявно (по скорости которая неизвестна) как источниковый или коррекционный член:

$$(\nabla U)_f \cdot k_f \quad (18)$$

- ▶ Если данный член вычислять явно, то увеличивается нестабильность.
- ▶ Чем выше неортогональность сетки, тем выше неявный (*explicit*) член и тем меньше явный (*implicit*) член.





- ▶  $\Theta \sim k$ .
- ▶ Как только  $\Theta \nearrow$ , увеличивается коррекция неортогональности.

## Limited Correction

- ▶ openFOAM предлагает ограничивать коррекцию.
- ▶ Коррекция неортогональности добавляется всегда, но её значение ограничено долей явного члена ( $\gamma$ ):

$$(\nabla U)_f \cdot k < \gamma \left( \frac{U_P - U_N}{|d|} |\Delta_f| \right) \quad (19)$$

- ▶ Обычно  $\gamma = 1$ .
- ▶ Для очень плохих сеток можно уменьшить ( $\gamma < 1$ ) для улучшения стабильности и пожертвовать точностью.

## Non-orthogonal Corrector Loops

- ▶ Необходимы дополнительные итерации, как только начинает использоваться коррекция неортогональности на рассчитанном поле скорости.
- ▶ Для хороших сеток, внешние циклы в SIMPLE являются достаточными для сходимости.
- ▶ Для плохих сеток требуются дополнительные циклы для давления (*inner loop*) - это *Non-orthogonal Corrector Loops*.

- ▶ Решение на хорошей сетке:
  1. уравнение движения
  2. уравнение давления
  3. уравнения энергии, турбулентность и т.д.
  
- ▶ Решение на плохой сетке:
  1. уравнение движения
  2. уравнение давления
    - ▶ уравнение давления (Non-ortho Corrector)
    - ▶ уравнение давления (Non-ortho Corrector)
    - ▶ уравнение давления (Non-ortho Corrector)
  3. уравнения энергии, турбулентность и т.д.

## Неортогональность сетки: The Over-Relaxed Approach

## Background

- ▶ Большинство уравнений переноса скаляра, решаемых в CFD, содержат диффузионные члены:
  - ▶ уравнение движения:  $\nabla \cdot (\mu((\nabla U) + (\nabla U)^T))$ .
  - ▶ уравнение кинетической энергии:  $\nabla \cdot \left( \left( \mu + \frac{\mu_t}{\sigma_k} \right) \nabla k \right)$ .
  - ▶ ...
- ▶ Все диффузионные члены требуют **Non-Orthogonal Corrector**.
- ▶ Рассмотрим уравнение теплопроводности:

$$0 = \nabla (k \nabla T) \tag{20}$$

- ▶  $k$  - коэффициент теплопроводности,  $T$  - температура.

- ▶ Для решения воспользуемся методом контрольного объёма, проинтегрируем по объёму ячейки

$$0 = \nabla (k \nabla T) \quad (21)$$

$$0 = \int_V \nabla (k \nabla T) dV \quad (22)$$

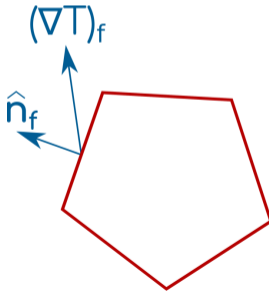
- ▶ Используя теорему о дивергенции:

$$0 = \sum_{Faces} (k_f A_f (\nabla T_f \cdot \hat{n}_f)) \quad (23)$$

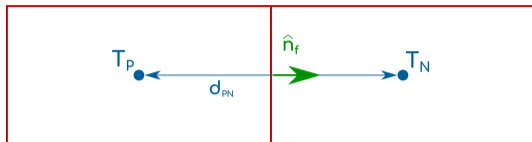
- ▶ Суммарное тепло  $Q = kA \nabla T$  равно нулю - закон сохранения энергии.

$$0 = \sum_{Faces} (k_f A_f (\nabla T_f \cdot \hat{n}_f)) \quad (24)$$

- ▶ Тепловой поток направлен по градиенту температуры  $\nabla T_f$ .
- ▶ Необходима компонента этого потока тепла по нормали к поверхности  $\nabla T_f \cdot \hat{n}$ .





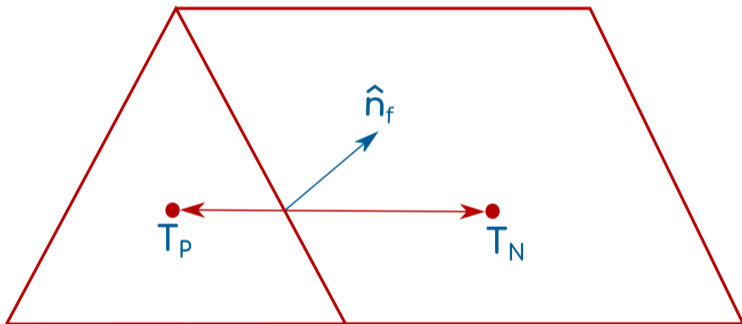


► Если  $d_{PN} \parallel \hat{n}_f$ :

$$\nabla T_f \cdot \hat{n}_f = \frac{T_N - T_P}{|d_{PN}|} |\hat{n}_f| \quad (25)$$

$$0 = \sum_{Faces} (k_f A_f (\nabla T_f \cdot \hat{n}_f)) \rightarrow \sum_{Faces} \left( k_f A_f \left( \frac{T_N - T_P}{|d_{PN}|} \cdot |\hat{n}_f| \right) \right) \quad (26)$$

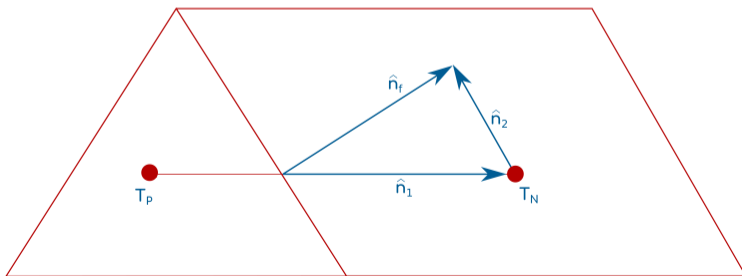
- ▶ Для большинства сеток  $d_{PN} \nparallel \hat{n}_f$ .
- ▶ Нельзя использовать предыдущее приближение.



- ▶ Разделим вектор  $\hat{n}_f$  на две компоненты.

$$\hat{n}_f = \hat{n}_1 + \hat{n}_2 \quad (27)$$

- ▶  $d_{PN} \parallel \hat{n}_1$ .
- ▶  $d_{PN} \nparallel \hat{n}_2$ .



$$0 = \sum_{Faces} (k_f A_f (\nabla T_f \cdot \hat{n}_f)) \quad (28)$$

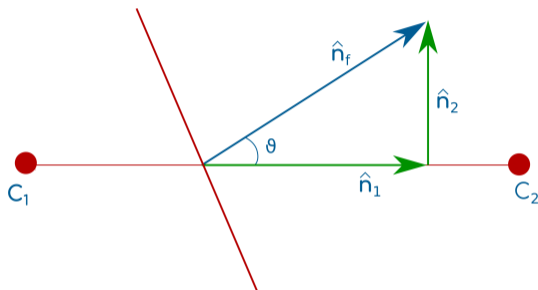
- Подставим  $\hat{n}_f = \hat{n}_1 + \hat{n}_2$

$$0 = \sum_{Faces} (k_f A_f (\nabla T_f \cdot \hat{n}_1)) + \sum_{Faces} (k_f A_f (\nabla T_f \cdot \hat{n}_2)) \quad (29)$$

$$0 = \sum_{Faces} \left( k_f A_f \left( \frac{T_N + T_P}{|d_{PN}|} \right) |\hat{n}_1| \right) + \underbrace{\sum_{Faces} (k_f A_f (\nabla T_f \cdot \hat{n}_2))}_{Non-OrthogonalCorrection} \quad (30)$$

- Оценим второй член явно используя градиент температуры с предыдущей итерации. Этот член называется **Non-Orthogonal Correction**.

- ▶ Как выбрать  $\hat{n}_1$  и  $\hat{n}_2$ ?



- ▶  $\hat{n}_1 \parallel d_{PN}$ . Можно выбрать любые вектора, но должно выполняться условие  $\hat{n}_1 \parallel d_{PN}$ .

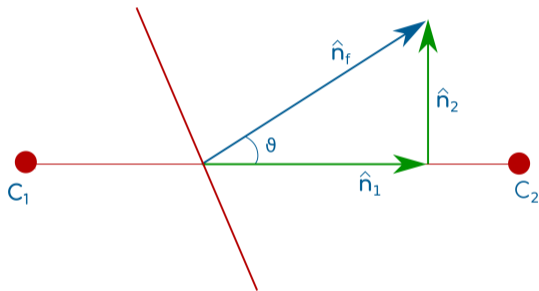
## Метод 1. Прямоугольный треугольник. Минимальная коррекция.

- Пусть  $\hat{n}_1 \perp \hat{n}_2$ .

$$\hat{n}_1 = \hat{n}_f \cos \theta \quad (31)$$

- Используем скалярное произведение:  $a \cdot b = |a| |b| \cdot \cos \theta$ .

$$\hat{n}_1 = \hat{n}_f \left( \frac{\hat{n}_f \cdot d_{PN}}{|\hat{n}_f| |d_{PN}|} \right) \text{ и } \hat{n}_2 = \hat{n}_f - \hat{n}_1 \quad (32)$$

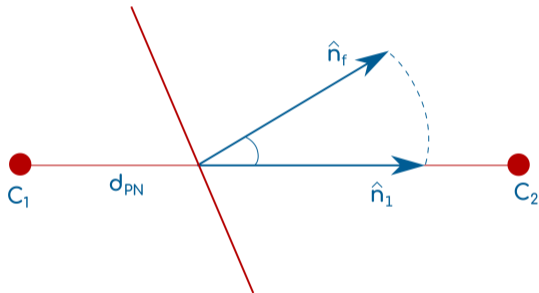


Метод 2. Ротационное приближение. Ортогональная коррекция.

- ▶ Повернём  $\hat{n}_f$  до параллельности с  $d_{PN}$ .

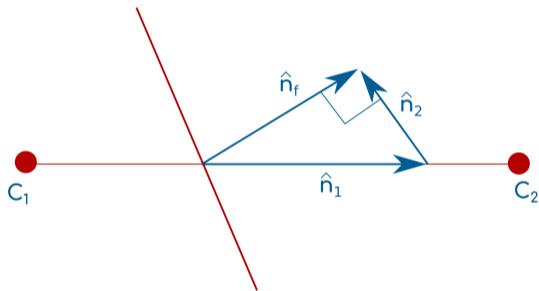
$$\hat{n}_1 = \hat{n}_f * \left( \frac{d_{PN}}{|d_{PN}|} \right) \quad (33)$$

- ▶ В независимости от  $\theta$  магнитуда  $\hat{n}_1$  остаётся той же.



### Метод 3. Over-Relaxed Approach.

- ▶ Сделаем  $\hat{n}_2 \perp \hat{n}_f$ .
- ▶ Получение  $\hat{n}_1$  теперь немного сложнее...





$$\cos \theta = \frac{\hat{n}_f}{\hat{n}_1} \Rightarrow \hat{n}_1 = \frac{\hat{n}_f}{\cos \theta} \quad (34)$$

- ▶ Из скалярного произведения:  $a \cdot b = |a| |b| \cdot \cos \theta$  выразим  $\cos \theta$ .

$$|\hat{n}_1| = |\hat{n}_f| \left( \frac{|\hat{n}_f| |d_{PN}|}{\hat{n}_f \cdot d_{PN}} \right) \quad (35)$$

- ▶ Это скаляр, который даёт магнитуду  $\hat{n}_1$ . Но нужен вектор!

- Умножим магнитуду  $\hat{n}_1$  на направление  $d_{PN}$ :

$$\hat{n}_1 = |\hat{n}_1| * \left( \frac{d_{PN}}{|d_{PN}|} \right) \quad (36)$$

$$\hat{n}_1 = |\hat{n}_f| \left( \frac{|\hat{n}_f| |d_{PN}|}{\hat{n}_f \cdot d_{PN}} \right) * \left( \frac{d_{PN}}{|d_{PN}|} \right) \quad (37)$$

$$\hat{n}_1 = d_{PN} \left( \frac{|\hat{n}_f|^2}{\hat{n}_f \cdot d_{PN}} \right) \Rightarrow \quad (38)$$

$$\hat{n}_2 = \hat{n}_1 - \hat{n}_f \quad (39)$$

- При увеличении  $\theta$  магнитуда  $\hat{n}_1$  и  $\hat{n}_2$  изменяются.

### Какой из методов лучше?

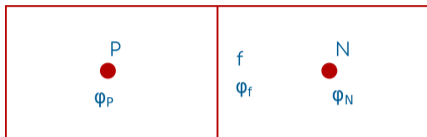
- ▶ Из Jasak (1996) стр. 141:
- ▶ при  $\theta = 30^0$ 
  - ▶ Все методы дают одно и то же решение, если используется достаточное количество циклов коррекции.
  - ▶ Over-relaxed approach даёт самую размазанную сходимость, т.е. наиболее стабилен.
- ▶ При  $\theta = 45^0$ :
  - ▶ Метод прямоугольного треугольника и метод поворота расходятся при  $\theta > 45^0$ .
  - ▶ Over-relaxed approach сходится при больших углах  $\theta = 60^0$ .
  - ▶  $\Rightarrow$  данный метод предпочтительнее.

## Плохие сетки

$$0 = \sum_{Faces} \left( k_f A_f \left( \frac{T_N + T_P}{|d_{PN}|} \right) |\hat{n}_1| \right) + \sum_{Faces} (k_f A_f (\nabla T_f \cdot \hat{n}_2)) \quad (40)$$

- ▶ Для плохих сеток (большие  $\theta$ ) явный источниковый член может привести к расхождению решения.
- ▶  $\Rightarrow$  источниковый член ограничивается или отбрасывается полностью на плохих ячейках.
- ▶ Это приводит к локальной ошибке только на плохих ячейках и может привести к сходимости решения.
- ▶ Наибольшая ошибка в over-relaxed approach с увеличением  $\hat{n}_2$ .

## Разница между Upwind, Linear Upwind и Central Differencing



- ▶ Допустим известны  $\varphi_P$  и  $\varphi_N$ , необходимо найти  $\varphi_f$ .
- ▶ Linear/Central Differencing - схема второго порядка.

$$\varphi = \psi \varphi_N + (1 - \psi) \varphi_P \quad (41)$$

$$\psi = \frac{|x_f - x_P|}{|x_N - x_P|}, 0 \leq \psi \leq 1 \quad (42)$$

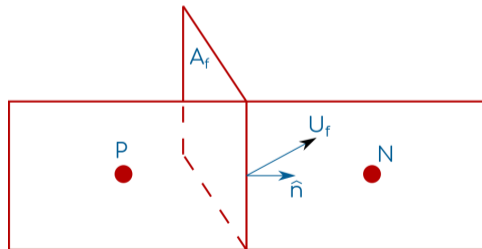
- ▶ Central Differencing - используется для диффузионных членов  $\nu \nabla^2 U$  и никогда не должна использоваться для конвективных членов в RANS ( $\nabla(UU)$ )
- ▶ Может использоваться в LES для конвективных членов, когда требуется бóльшая точность.

## Upwind Differencing

- ▶ Зависит от направления массового потока.

$$F_f = \rho_f A_f (U_f \cdot \hat{n}) \quad (43)$$

- ▶  $\varphi_f = \varphi_P, F_f > 0$  - поток вытекает из ячейки.
- ▶  $\varphi_f = \varphi_N, F_f < 0$  - поток втекает в ячейку.





## Upwind Differencing

- ▶  $\varphi$  - постоянна между центром ячейки и поверхностью. Это схема первого порядка точности.
- ▶ Upwind differencing - не точна!
- ▶ Стабильна при доминантном конвективном потоке.
- ▶ Можно использовать как начальное приближение.

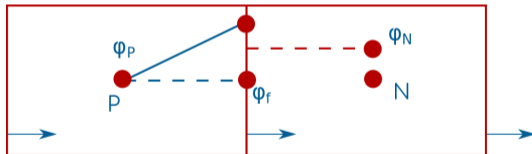
## Linear Upwind Differencing

- ▶ Linear Upwind Differencing более точная чем Upwind.
- ▶ Для улучшения точности используется градиент.
- ▶ Изменение  $\varphi$  между центром ячейки и поверхностью линейно.
- ▶ Номинально это схема второго порядка.

$$\varphi_f = \begin{cases} \varphi_P + (\nabla_P) \cdot r, F_f > 0 \\ \varphi_N + (\nabla_N) \cdot r, F_f < 0 \end{cases} \quad (44)$$

## Linear Upwind Differencing

- ▶ Linear Upwind Differencing хороша для конвективных членов.
- ▶ Недостаток схемы: иногда градиент даёт значение на поверхности выше значения центра ячейки.



## Advanced Discretiation Schemes

- ▶ - используют комбинацию:
  - ▶ Linear/Central для точности ( $\varphi_{CD}$ )
  - ▶ Upwind для стабильности  $\varphi_{UD}$

$$\varphi_f = \Psi \varphi_{UD} + (1 - \Psi) \varphi_{CD} \quad (45)$$

- ▶  $\Psi$  - функция для переключения между схемами.